

正确选择 MOSFET 以实现极性反接保护

AND90146/D

概述

当车辆电池因损坏而需要更换时，新电池极性接反的可能性很高。车辆中的许多电子控制单元 (ECU) 都连接到车辆电池，因而此类事件可能会导致大量 ECU 故障。此外，ISO (国际标准化组织) 等汽车标准定义了电气电子设备的测试方法、电压水平、电磁辐射限值，以确保系统安全可靠地运行。与极性反接保护 (RPP) 相关的一种标准是 ISO 7637-2:2011，它复制了实际应用中的各种电压场景，系统需要承受此类电压以展示其能够防范故障的稳健性。这使得极性接反保护成为连接电池的 ECU/系统的一个关键组成部分，所有汽车制造商都需要。

本应用笔记首先介绍 ISO 脉冲，通常使用此类脉冲来复制实际应用中可能出现的电压瞬变。然后，本文将详细说明可以使用的几种保护技术，并指导读者选择外部 N 沟道 MOSFET——它将提供 RPP 并帮助降低系统的功率损耗。最后，将基于电池电流推荐与理想的二极管控制器一起使用的 N 沟道 MOSFET 清单。

ISO 脉冲

为确保配备了 12 V 或 24 V 电气系统的乘用车和商用车上安装的设备与传导电瞬变兼容，国际标准 ISO 7637-2:2011 规定了测试方法和程序。有关详细信息，请参阅 ISO 7637-2:2011。

该标准定义了多种类型的测试脉冲来测试器件。以下是其中的几种测试脉冲。

- 脉冲 1: 感性负载的电源断开导致的瞬变。
- 脉冲 2a: 因线束的电感导致与 DUT (被测器件) 并联的器件中的电流突然中断引起的瞬变。
- 脉冲 3a 和 3b: 由于开关过程而发生的瞬变。这些瞬变的特性受线束的分布电容和电感的影响。

这些测试脉冲具有不同的负电压和正电压电平，从而对 DUT 施加压力，看它能否承受。例如，通过图 1 所示的脉冲 3b 可以大致了解标准中定义的脉冲类型；每种脉冲都有自己的参数，如表 1 所示。脉冲 3b 模

拟实际应用中的开关噪声，例如，继电器和开关触点抖动会产生短暂的突发高频脉冲。[AND8228/D](#) 详细讨论了电压瞬变和测试方法。

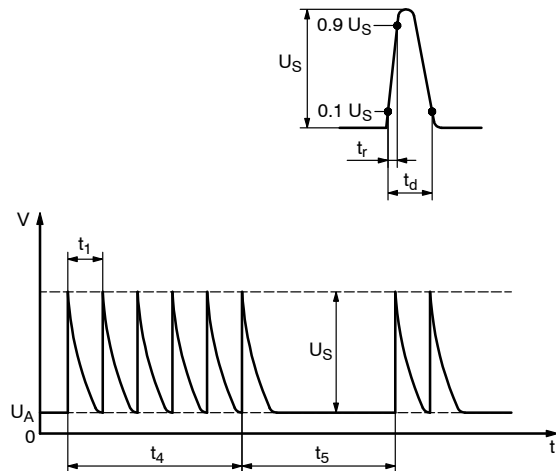


图 1. 测试脉冲 3b

表 1. 测试脉冲 3b 的参数

参数	标称 12 V 系统	标称 24 V 系统
U_S	+75 V 至 +150 V	+150 V 至 +300 V
R_i		50 Ω
t_d		150 ns ±45 ns
t_r		5 ns ±1.5 ns
t_1		100 μs
t_4		10 ms
t_5		90 ms

极性反接保护技术

下面讨论三种最常见的极性反接保护技术。

二极管

保护系统免受电池反接影响的最简单方法是使用二极管。如图 2 所示，二极管只有在其端子连接到正确

的极性(即正偏)时才会传导电流。标准二极管的正向压降 V_F 约为 0.7 V，但肖特基二极管的正向压降可低至 0.3 V。因此，大多数应用使用肖特基二极管以降低系统损耗。

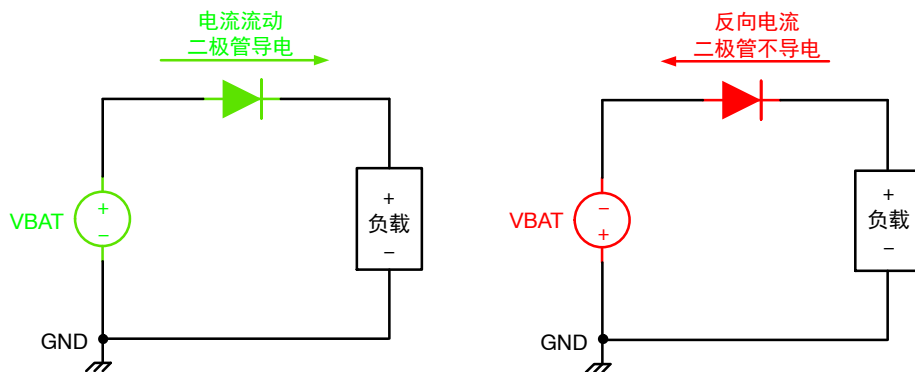


图 2. 使用二极管的极性反接保护

图 3 显示了 [NRVBSS24NT3G 肖特基二极管](#) 的典型压降。在结温 T_J 为 25°C 时，如果二极管电流(I_{DIODE})

从 0.5 A 提高到 1.0 A (100% 增加)， V_F 将从 0.35 V 提高到 0.40 V (15% 增加)。

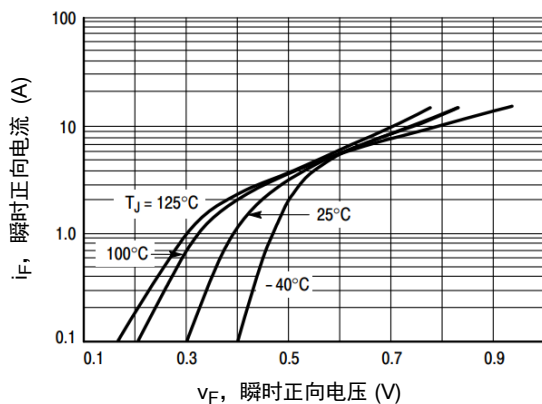


图 3. NRBSS24NT3G 肖特基二极管的典型正向电压

MOSFET

二极管的一种替代方案是 MOSFET。当 MOSFET 导通时，漏源压降 V_{DS} 取决于漏源电阻 $R_{DS,ON}$ 和漏源电流 I_D : $V_{DS} = R_{DS,ON} * I_D$ 。与肖特基二极管相比，该压降一般要低得多。

P 沟道 MOSFET

与所有 MOSFET 一样，P 沟道 MOSFET 在源极和漏极之间有一个本征体二极管。当电池正确连接时，本

征体二极管导通，直到 MOSFET 的沟道导通。要使 P 沟道 MOSFET 导通，栅极电压需要比源极电压低至少 V_T (阈值电压)。当电池反接时，体二极管反偏，栅极和源极电压相同，因此 P 沟道 MOSFET 关断。使用一个额外的齐纳二极管来箝位 P 沟道 MOSFET 的栅极，在电压过高时提供保护。

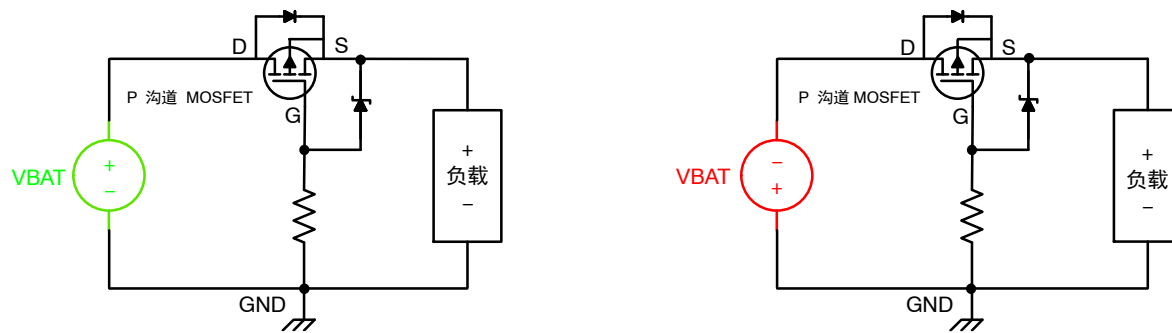


图 4. 使用 P 沟道 MOSFET 提供极性反接保护

N 沟道 MOSFET

也可以使用 N 沟道 MOSFET 来提供极性反接保护。当电池正确连接时（源极连接到 V_{BAT} ），要使 MOSFET 导通，栅源电压必须高于阈值电压 ($V_{GS} > V_{TH}$)。鉴于源极连接到 V_{BAT} ，故栅极电压需

要比 V_{BAT} 高至少 V_T 。因此，使用一个专用驱动器来驱动 N 沟道 MOSFET 的栅极电压，使其高于源极电压，从而使 N 沟道 MOSFET 导通。当电池反接时，体二极管反偏（阳极电压低于阴极电压），驱动器被禁用（源极和栅极短路），N 沟道 MOSFET 关断。

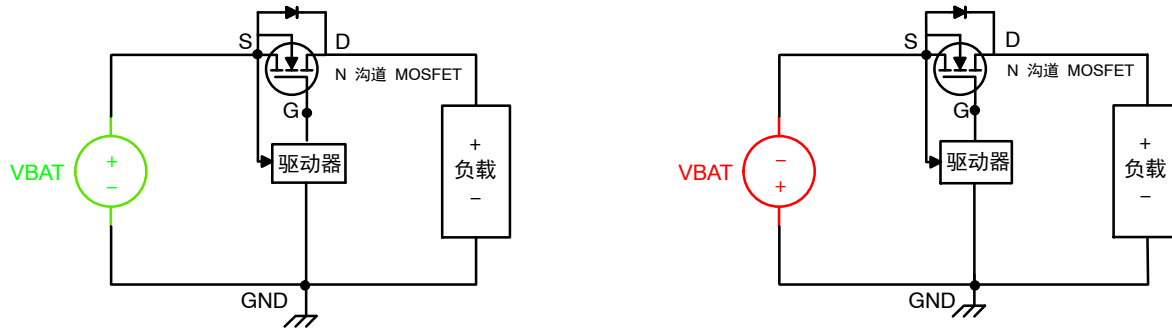


图 5. 使用 N 沟道 MOSFET 提供极性反接保护

极性反接保护技术比较

表 2 总结了不同极性反接保护技术的优缺点。值得一提的是，P 沟道 MOSFET 的操作取决于空穴的迁移率，而 N 沟道 MOSFET 的操作取决于电子的迁移率。已知对于相同的漏极电流，电子的迁移率比空穴的迁移率高几乎 2.5 倍。因此，为实现相同的导通电阻，P 沟道 MOSFET 的芯片尺寸会比 N 沟道 MOSFET 更大，相应地成本也更高。这使得 N 沟道 MOSFET 比 P 沟道 MOSFET 更适合此类应用。

表 2. 不同保护技术的比较

	优点	缺点
肖特基二极管	- 成本低 - 简单	- 功耗较高 - 压降较高
MOSFET	- 灵活 (不同 $R_{DS,ON}$ 的各种 MOSFET) - 功耗较高 - 工作压降较低	- 低 $R_{DS,ON}$ 的成本高 - 解决方案总成本较高 (需要额外的电荷泵/控制器) - 复杂度较高 (栅极驱动和保护等)

MOSFET 选择

选择用于极性反接保护的 N 沟道 MOSFET 时，需要考虑多种参数。

- MOSFET 的最大击穿电压 $V_{DS, MAX}$
 - ◆ 对于 12 V 电源系统(汽车)，首选 $V_{DS, MAX} = 40 \text{ V}$
 - ◆ 对于 24 V 电源系统(卡车)，首选 $V_{DS, MAX} = 60 \text{ V}$
- 最大工作结温 $T_{J, MAX}$
 - ◆ 对于汽车和卡车应用，鉴于环境恶劣，建议使用 175°C
- 栅极电平
 - ◆ 最好使用逻辑电平，而不要使用标准电平，因为对于相同栅源电压 V_{GS} ，前者的 $R_{DS, ON}$ 更低
- 封装
 - ◆ 通常使用带裸露焊盘的 $3.30 \times 3.30 \text{ mm}$ (即 LFPAK33/WDFN8/μ8FL) 和 $5.00 \times 6.00 \text{ mm}$ (即 SO8-FL/LFPAK56) 封装以优化功耗
- 总栅极电荷 $Q_{G, TOT}$
 - ◆ MOSFET 导通分为 3 个阶段
 - 当栅极电压 V_{GS} 上升至平坦区域电压 V_{GP} 时，电荷主要用于为输入电容 C_{ISS} 充电。
 - 当 V_{GS} 处于平坦区域电压 V_{GP} 时，电荷主要用于为反向传输电容(栅漏电容) C_{RSS} 充电。
 - 当 V_{GS} 从 V_{GP} 上升至驱动器电源电压 V_{GDR} 时，电荷用于进一步增强沟道。
 - ◆ $Q_{G, TOT}$ 越低，MOSFET 导通所需的栅极电压和电流越小(即导通速度越快)，反之亦然
 - ◆ 有关 MOSFET 栅极电荷的更多信息，请参阅以下安森美(onsemi)应用笔记。
 - <https://www.onsemi.cn/pub/Collateral/AND9083-D.PDF>
- 漏源电阻 $R_{DS, ON}$
 - ◆ $R_{DS, ON}$ 的作用是限制器件的功耗。对于给定负载电流， $R_{DS, ON}$ 越大，功耗越高。更高功耗会导致 MOSFET 的 T_J 升高。因此，为了获得最优性能，正确选择具有所需 $R_{DS, ON}$ 的器件很重要。
 - ◆ 在以下部分中，选择用于热评估的 MOSFET 的 $R_{DS, ON}$ 将使功耗保持在 500 mW 左右。

NCV68061 理想二极管控制器

NCV68061 和外部 N 沟道 MOSFET: 的组合构成一个理想二极管：当施加正偏电压(阳极电压高于阴极电压)时，它充当一个理想导体；当施加反偏电压(阳极电压低于阴极电压)时，它充当一个理想绝缘体。NCV68061 是一款极性反接保护和理想二极管 N 沟道 MOSFET 控制器，旨在取代二极管，其损耗和正向电压更低。

NCV68061 的主要功能是根据源漏差分电压极性控制外部 N 沟道 MOSFET 的通断状态。根据漏极引脚连接，该器件可以配置为两种不同的应用模式。当漏极引脚连接到负载时，应用处于理想二极管模式，而当漏极引脚接地时，NCV68061 仅处于极性反接保护模式。在这两种模式下，控制器都会为外部 N 沟道 MOSFET 提供 11.4 V 的典型栅极电压。因此，以下部分的所有计算都使用 10 V V_{GS} 时的 $R_{DS, ON}$ 。

NCV68061 已通过 ISO 7637-2:2011 测试，结果证明该器件非常稳健，能够承受电压应力。[NCV68061](#) 数据表显示了测试结果。

理想二极管应用

图 6 显示了 NCV68061 在理想二极管配置下的使用情况。在此配置中，不允许输入电压对大容量电容 C_{bulk} 放电。此配置有两种模式：

- 导通模式：在进入导通模式之前，源极电压低于漏极电压，电荷泵和 N 沟道 MOSFET 均被禁用。随着源极电压变得比漏极电压大，正向电流流过 N 沟道 MOSFET 的体二极管。一旦此正向压降超过源漏栅极充电电压阈值电平(典型值 140 mV)，电荷泵就会开启，N 沟道 MOSFET 变成完全导通状态。
- 反向电流阻断模式：当源极电压变得比漏极电压小时，反向电流最初流过 N 沟道 MOSFET 的导电沟道。此电流在 N 沟道 MOSFET 的导电沟道上产生一个与其 $R_{DS, ON}$ 成比例的压降。当此电压降至源漏栅极放电电压阈值(典型值 -10 mV)以下时，电荷泵被禁用，外部 N 沟道 MOSFET 由控制器的内部 P 沟道 MOSFET 关断。

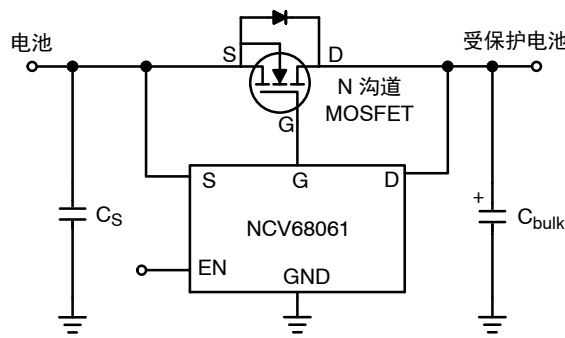


图 6. NCV68061 理想二极管应用

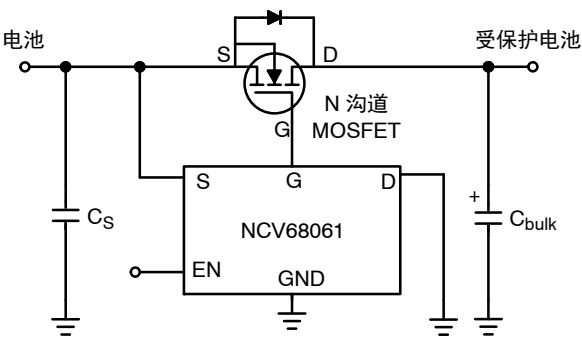


图 7. NCV68061 极性反接保护应用

极性反接保护

如图7所示，通过将漏极引脚连接到GND电位，NCV68061将不允许下降的输入电压将输出放电到GND电位以下，但允许输出跟随任何高于欠压锁定(UVLO)阈值的正输入电压。这意味着，下降的输入电压会将大容量电容C_{bulk}放电。

当源极电压高于UVLO阈值(典型值3.3 V)时，源极/漏极和UVLO比较器使电荷泵能够向完全导通的外部N沟道MOSFET提供栅源电压。当源极电压低于UVLO阈值(典型值3.2 V)时，电荷泵和N沟道MOSFET被禁用，所有负载电流流过N沟道MOSFET的体二极管。

测试设置

使用NCV68061的专用测试板来确定各种采用3×3和5×6封装且有不同R_{DSON}的MOSFET的功耗和热性能，以帮助理解不同负载电流下用于理想二极管控制器的MOSFET选择。

电路图

图8显示了测试板的电路图。其设计方式支持测试SO-8FL/LFPAK4和μ8FL/LFPAK33封装的MOSFET。每个MOSFET电路都有一个跳线来使能/禁用NCV68061，以确保一次只有一个控制器处于活动状态。使用3.3 V LDO NCV4294为控制器的使能引脚E/N供电。控制器将控制N沟道MOSFET，使其像理想二极管一样工作，并阻止反向电流。

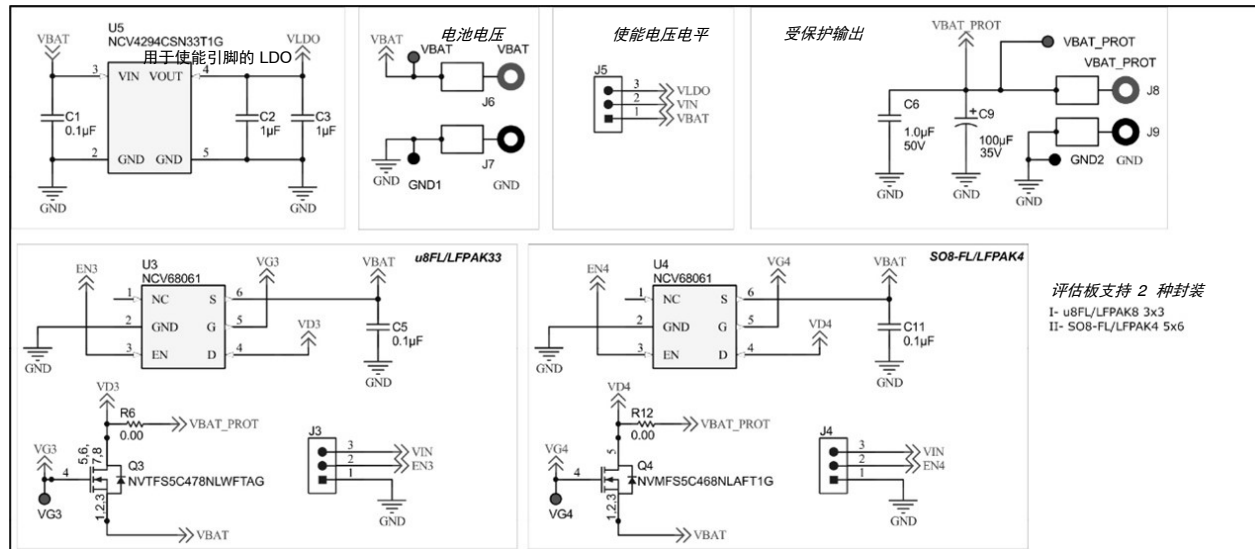


图 8. NCV68061 测试板的电路图

布局

该板是 4 层印刷电路板 (PCB)。输入和输出电流分布在顶层、第一内层和第二内层。跨多个层分布电流

有助于减少损耗，并提高电路板的热性能。第二内层具有用于栅极信号和使能信号的走线。底层专用于 GND 平面。

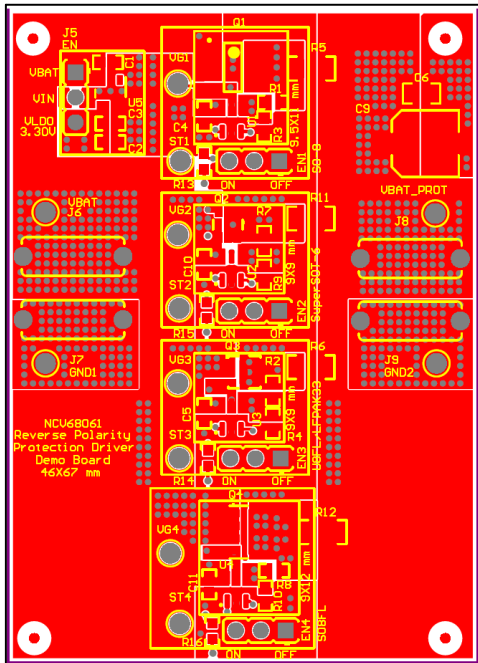


图 9. 顶层

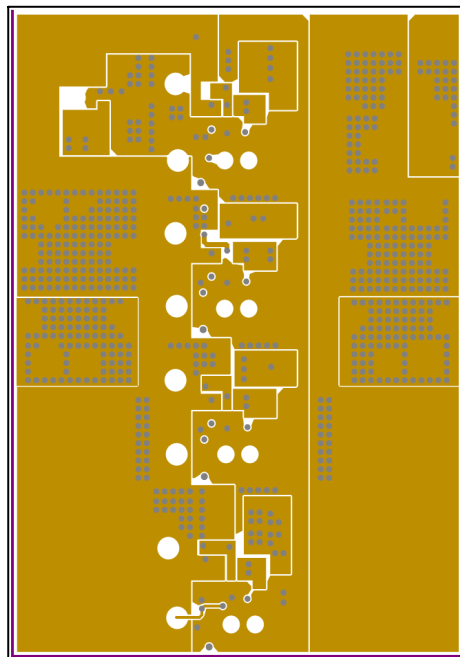


图 10. 第一内层

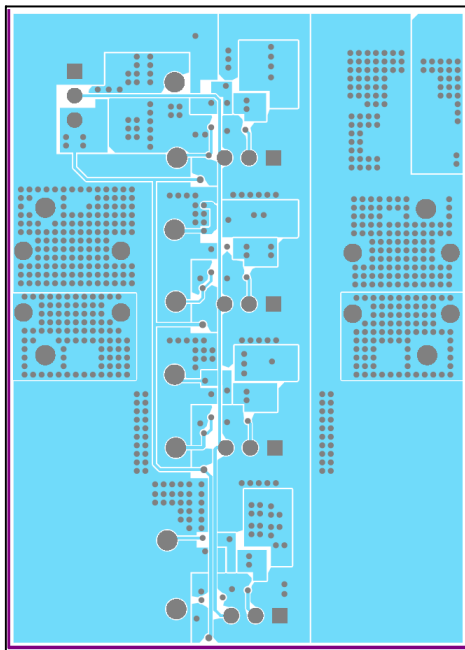


图 11. 第二内层

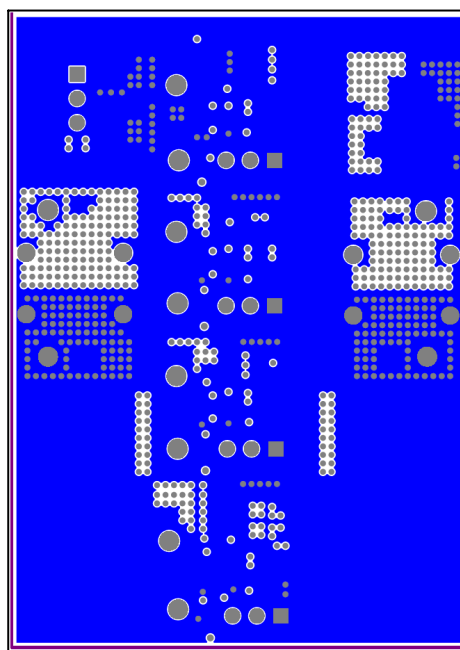


图 12. 底层

热测量

表 3. 接受评估的 MOSFET

电池电流	零件编号	封装	10 V V_{GS} 时的最大 $R_{DS, ON}$ (@ (mΩ))	最大损耗 P_D (mW)	$R_{θJA}$ (°C/W)	T_{CASE} (°C)
6 A	NVTFS5C478NLWFTAG	μ8FL	14.0	504.0	51.0	47.3
	NVMFS5C468NLAF1G	SO-8FL	10.3	370.8	43.0	40.1
8 A	NVTFS5C466NLWFTAG	μ8FL	7.3	467.2	48.0	47.4
	NVMFS5C466NLWFT1G	SO-8FL	7.3	467.2	43.0	45.3
10 A	NVTYS005N04CLTWG	LFPAK8	4.8	480.0	47.7	52.8
	NVMYS4D6N04CLTWG	LFPAK4	4.5	450.0	40.0	47.5

表 3 显示了用于热评估的 N 沟道 MOSFET。选择具有不同 $R_{DS, ON}$ 的 MOSFET，将功耗限制在 500 mW 左右。MOSFET 顶部壳温测量在 24°C 环境温度下进行，以评估不同输出电流 (6 A、8 A 和 10 A) 下

MOSFET 的热性能。使用 SO-8FL/LFPAK4 (5 × 6) 和 μ8FL/LFPAK8 (3 × 3) 封装的 MOSFET 进行评估。对每个负载电流进行两次测量，一次使用 5 × 6 封装，另一次使用 3 × 3 封装。

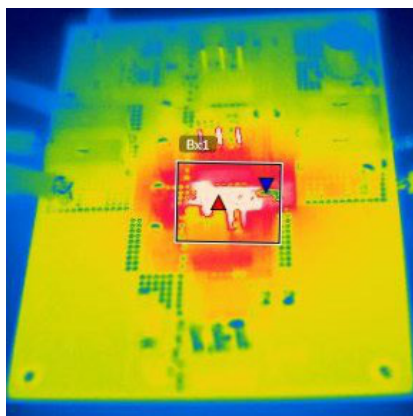


图 13. 6 A、μ8FL

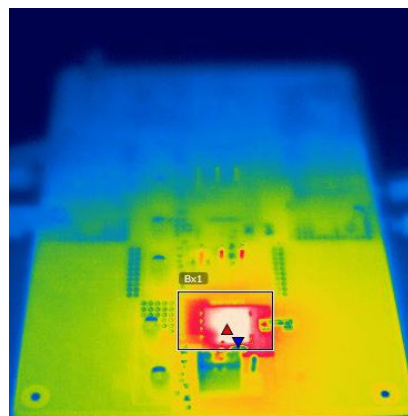


图 14. 6 A、SO-8FL

零件编号	NVTFS5C478NLWFTAG
10 V V_{GS} 时的最大 $R_{DS(ON)}$	14.0 mΩ
最大温度	47.3°C

零件编号	NVMFS5C468NLAF1G
10 V V_{GS} 时的最大 $R_{DS(ON)}$	10.3 mΩ
最大温度	40.1°C

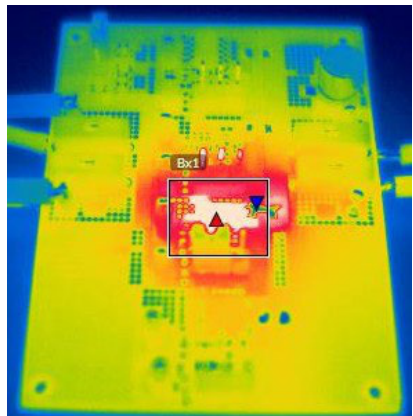


图 15. 8 A、μ8FL

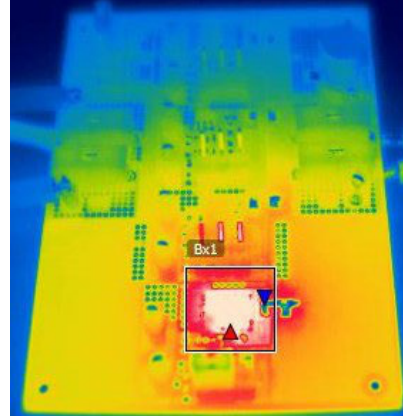


图 16. 8 A、SO-8FL

零件编号	NVTFS5C466NLWFTAG
10 V V_{GS} 时的最大 $R_{DS(ON)}$	7.3 mΩ
最大温度	47.4°C

零件编号	NVMFS5C466NLWFT1G
10 V V_{GS} 时的最大 $R_{DS(ON)}$	7.3 mΩ
最大温度	45.3°C

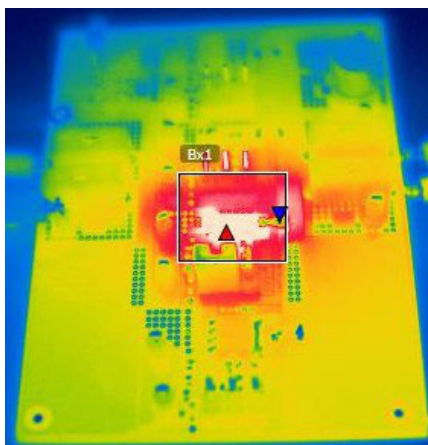


图 17. 10 A、LFPACK8

零件编号	NVTYS005N04CLTWG
10 V V_{GS} 时的最大 $R_{DS(ON)}$	4.8 mΩ
最大温度	52.8°C

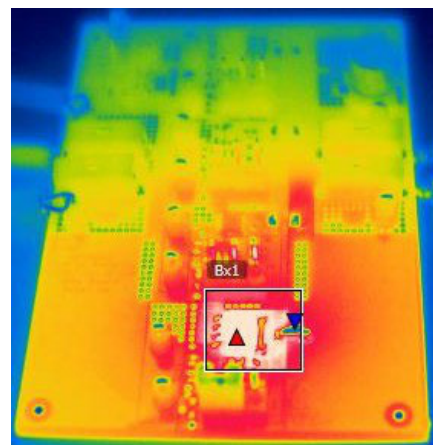


图 18. 10 A、LFPACK4

零件编号	NVMYS4D6N04CLTWG
10 V V_{GS} 时的最大 $R_{DS(ON)}$	4.5 mΩ
最大温度	45.3°C

有了从热测量获得的顶部壳温和计算出的功耗，便可使用公式 1 计算结温 T_J 。

$$T_J = T_{CASE} + P_D \times R_{\theta JT} \quad (\text{公式 1})$$

T_J = MOSFET 的结温

T_{CASE} = 热像仪测得的封装顶部温度

P_D = MOSFET 的功耗

$R_{\theta JT}$ = MOSFET 顶部外壳和结之间的热阻

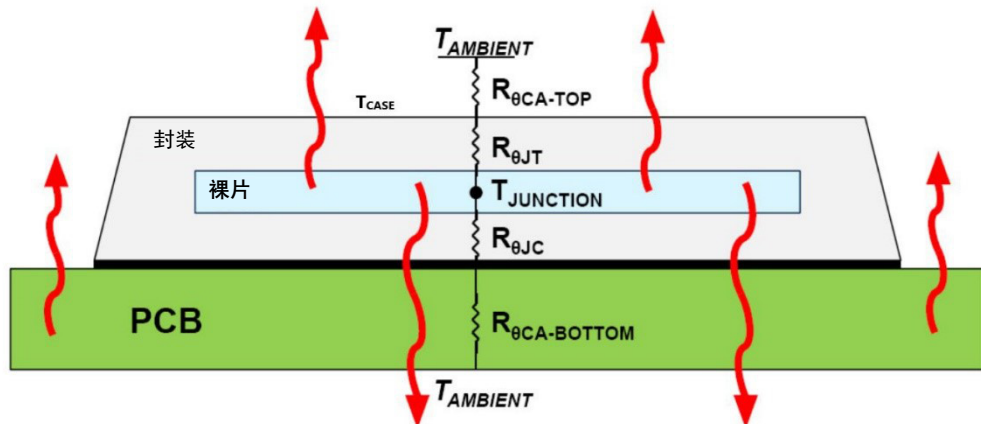


图 19. MOSFET 的等效热阻

$R_{\theta JT}$ 的值不是固定的，它取决于热边界条件，如 PCB 布局、MOSFET 的散热系统（裸露焊盘等）和其他参数，因此数据表未提供此值。 $R_{\theta JT}$ 是一个 $< 1^{\circ}\text{C}/\text{W}$ 的小数字，因为大部分热量会通过封装底部的裸露焊盘从结流向 PCB。因此，没有多少热量从结

流向 MOSFET 顶部，可以认为 T_J 和 T_{CASE} 的温差不大。为了确定 T_J ，本应用笔记假设 $R_{\theta JT}$ 为 $1^{\circ}\text{C}/\text{W}$ 。

注意： $1^{\circ}\text{C}/\text{W}$ 对于 3×3 和 5×6 封装是一个非常保守的假设。其他封装会有不同的热阻。

估算结温 T_J

下面使用测得的 T_{CASE} 和 MOSFET 的实际功耗来计算 T_J 。下一步将根据数据表的规格进行理论计算，并将结果与使用实测数据进行的计算进行比较，以确认 T_J 的理论计算和实际计算是否一致。所有计算均使用 μ 8FL (3×3) 封装的 MOSFET NVTFS5C478NLWFTAG。

使用实测 T_{CASE} 估算 T_J

下面的计算使用从测量获得的值来估算 T_J 。

- 负载电流 $I_{LOAD} = I_D = 6.0 \text{ A}$
- 输入电压 $V_{in} = 12.0 \text{ V}$
- 顶部外壳温度 $T_{CASE} = 47.3^\circ\text{C}$ (从热测量获得)
- $10.0 \text{ V } V_{GS}$ 时的最大导通电阻 $R_{DS, ON} = 14.0 \text{ m}\Omega$
- $R_{\theta JT} = 1.0^\circ\text{C}/\text{W}$ (3×3 和 5×6 封装的假设值)

$$P_D = I_D^2 \times R_{DS, ON}$$

$$P_D = (6.0 \text{ A})^2 \times 14.0 \text{ m}\Omega = 504.0 \text{ mW} \quad (\text{公式 2})$$

使用公式 1，

$$T_J = 47.3^\circ\text{C} + (504.0 \text{ mW} \times 1.0^\circ\text{C}/\text{W}) = 47.8^\circ\text{C}$$

T_J 的理论计算

使用基于数据表规格的理论计算来确定 T_J 。假设损耗为 500 mW ，使用公式 3 来确定器件的 T_J 。

$$P_D = \frac{T_J - T_A}{R_{\theta JA}} \quad (\text{公式 3})$$

- MOSFET 的结温 T_J
- MOSFET 工作环境温度 $T_A = 24.0^\circ\text{C}$
- MOSFET 的功耗 $P_D = 500.0 \text{ mW}$
- MOSFET 的结和环境之间的热阻 $R_{\theta JA} = 51.0^\circ\text{C}/\text{W}$ (值来自数据表)

$$\begin{aligned} T_J &= P_D \times R_{\theta JA} + T_A \\ &= 500.0 \text{ mW} \times 51.0^\circ\text{C}/\text{W} + 24.0^\circ\text{C} = 49.5^\circ\text{C} \end{aligned} \quad (\text{公式 4})$$

NVTFS5C478NLWFTAG 的 $T_{J,MAX}$ 为 175.0°C ，因此有 125.5°C 的裕量。

估算的 T_J 与理论计算值之差很小，为 1.7°C (49.5°C vs. 47.8°C)。在表 4 中，如以上计算所示，使用理论计算的 T_J 和实测的 T_{CASE} 、 $R_{\theta JT}$ 、 P_D 来估算不同负载和封装下的 T_J 。

表 4. 建议 MOSFET 的 T_J 计算值与负载电流

电池电流	零件编号	封装	10 V V_{GS} 时的最大 $R_{DS, ON} (\text{m}\Omega)$	最大损耗 $P_D (\text{mW})$	$R_{\theta JA} (\text{^\circ C/W})$	实测 $T_{CASE} (\text{^\circ C})$	$T_J (\text{^\circ C})$			相对于最大温度 175°C , 基于测量估算的 T_J 裕量 ($^\circ\text{C}$)
							24°C 环境温度下基于测量的估算值	计算的理论值	理论值与放大值之差 ΔT_J	
6 A	NVTFS5C478NLWFTAG	μ 8FL	14.0	504.0	51.0	47.3	47.8	49.5	-1.7	127.2
	NVMFS5C468NLAFT1G	SO-8FL	10.3	370.8	43.0	40.1	40.4	45.5	-5.1	134.6
8 A	NVTFS5C466NLWFTAG	μ 8FL	7.3	467.2	48.0	47.4	47.8	48.0	+0.2	127.2
	NVMFS5C466NLWFT1G	SO-8FL	7.3	467.2	43.0	45.3	45.7	45.5	+0.2	129.3
10 A	NVTVS005N04CLTWG	LFPAK8	4.8	480.0	47.7	52.8	53.2	47.8	+5.4	121.8
	NVMYS4D6N04CLTWG	LFPAK4	4.5	450.0	40.0	47.5	47.9	44.0	+3.9	127.1

- 在 6 A 负载电流时， 5×6 封装的 T_J 裕量比 3×3 封装高约 5.8%。
- 在 8 A 负载电流时， 5×6 封装的裕量比 3×3 封装高约 1.6%。两款器件封装不同，但使用相同的芯片，因此 T_J 没有太大区别。
- 在 10 A 时， 5×6 封装的裕量比 3×3 封装高约 4.3%。
- 同样，除了一款 10 A MOSFET 有大约 5.4°C 的差异外，理论 T_J 与估算值的差异并不显著。这表明，对于此特定测试设置，数据表中的 $R_{\theta JA}$ 是可靠的。

- 从实际应用角度看，数据表中使用 2 oz. 铜焊盘和较大面积电路板测量 $R_{\theta JA}$ 似乎不太现实，但它与上面估算的 T_J 差异很小，这表明 $R_{\theta JA}$ 与针对散热优化的 4 层测试板非常匹配。
- 结果显示，由于封装较大 (5×6)，热量得到有效分散并分布到整个器件上，因此其裕量更好。从散热角度看，较大封装的器件适合负载电流较高的应用以及环境温度较高的应用。

估算最大环境温度 T_A

前面的计算表明，数据表的 $R_{\theta JA}$ 与 NCV68061 测试板非常匹配，因此可以计算 MOSFET 工作的最大环境温度。

图 20 显示了 NVTFS5C478NLWFTAG 的 $R_{DS, ON}$ 相对于 T_J 的变化。在 175°C 结温时，最大 $R_{DS, ON}$ 比 25°C 结温时高大约 1.85 倍。因此，最大 $R_{DS, ON}$ 为 $1.85 \times 14 \text{ m}\Omega = \sim 25.9 \text{ m}\Omega$ 。

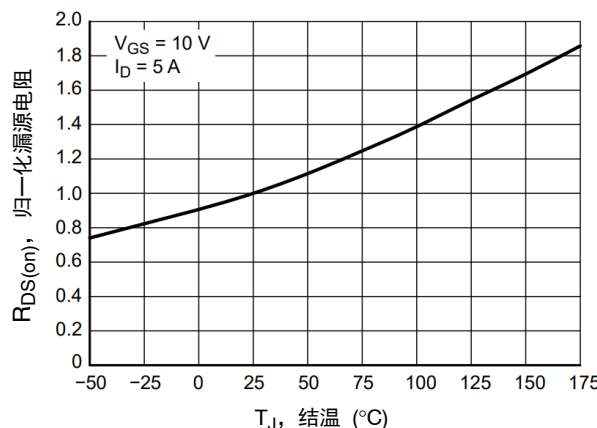


图 20. NVTFS5C478NLWFTAG
导通电阻随温度的变化

表 5. 估算最大 T_{AMB}

电池电流	零件编号	封装	10 V V_{GS} 、175°C T_J 时的最大 $R_{DS, ON}$ ($\text{m}\Omega$)	最大损耗 PD (mW)	$R_{\theta JA}$ ($^{\circ}\text{C/W}$)	估算最大 T_{AMB} ($^{\circ}\text{C}$)
6 A	NVTFS5C478NLWFTAG	μ8FL	25.9	932.4	51.0	127.5
	NVMFS5C468NLAF1G	SO-8FL	19.6	705.6	43.0	144.6
8 A	NVTFS5C466NLWFTAG	μ8FL	14.4	921.6	48.0	130.7
	NVMFS5C466NLWFT1G	SO-8FL	13.2	844.8	43.0	138.6
10 A	NVTVS005N04CLTWG	LFPAK8	8.8	880.0	47.7	133.0
	NVMYS4D6N04CLTWG	LFPAK4	8.3	830.0	40.0	141.8

总结

极性反接保护电路是车辆中任何 ECU 的核心构建模块之一。本应用笔记讨论了几种极性反接保护技术，包括二极管、P 沟道 MOSFET 和 N 沟道 MOSFET。本文比较了所有这些技术，并重点指出了每种技术的优缺点。此外，本文提供了 MOSFET 选型指南以支持 MOSFET 选择过程，并且给出了一个推荐器件清单。负载电流从 6 A 到 10 A 的热测量表明，从散热角度看，5 × 6 封装表现良好，原因是其封装和芯片更大， $R_{DS, ON}$ 和功率损耗比 3 × 3 封装要低。另外，

175°C 结温和 6 A 负载电流下的功耗如下：

$$P_D = (6.0 \text{ A})^2 \times 25.9 \text{ m}\Omega = 932.4 \text{ mW}$$

$R_{\theta JA} = 51.0 \text{ }^{\circ}\text{C/W}$ ，结和环境之间的温差可以计算如下：

$$\text{温差 } \Delta T = 51.0 \text{ }^{\circ}\text{C/W} \times 932.4 \text{ mW} = 47.5 \text{ }^{\circ}\text{C}$$

$$\text{最大 } T_A = T_J - \Delta T$$

$$\text{最大 } T_A = 175.0 \text{ }^{\circ}\text{C} - 47.5 \text{ }^{\circ}\text{C} = 127.5 \text{ }^{\circ}\text{C} \quad (\text{公式 5})$$

从上面的例子可知，MOSFET 可以在最大 127.5°C 的环境温度下工作。如果环境温度超出该计算值，则意味着 T_J 已达到 175°C 以上。

MOSFET 芯片本身可以在高于 175°C 的温度下工作，但由于封装塑封料的限制，以及为了确保长期运行可靠性，MOSFET 数据表规定最大 T_J 为 175°C。高于最大 T_J 的温度将导致器件行为无法保证，而且这也意味着器件在规格范围之外运行。

表 5 显示了各种 MOSFET 在不同负载电流下的估算最大环境温度，考虑结温为 175°C。

与较小的芯片相比，较大的芯片有助于更好地散热。尽管如此，表 3 显示 5 × 6 和 3 × 3 封装的最大 T_J 的裕量差异并不显著。根据应用需求和所使用的散热系统，5 × 6 和 3 × 3 封装的 MOSFET 均可选用。

理论计算的和实际估算的结温 T_J 没有显著差异，数据表中给出的 $R_{\theta JA}$ 是实际值，可用来在实际应用中执行热分析。使用上文所示的计算， $R_{\theta JA}$ 有助于计算 MOSFET 可运行的最大环境温度。

onsemi, **ONSEMI**, and other names, marks, and brands are registered and/or common law trademarks of Semiconductor Components Industries, LLC dba "**onsemi**" or its affiliates and/or subsidiaries in the United States and/or other countries. **onsemi** owns the rights to a number of patents, trademarks, copyrights, trade secrets, and other intellectual property. A listing of **onsemi**'s product/patent coverage may be accessed at www.onsemi.com/site/pdf/Patent-Marking.pdf. **onsemi** reserves the right to make changes at any time to any products or information herein, without notice. The information herein is provided "as-is" and **onsemi** makes no warranty, representation or guarantee regarding the accuracy of the information, product features, availability, functionality, or suitability of its products for any particular purpose, nor does **onsemi** assume any liability arising out of the application or use of any product or circuit, and specifically disclaims any and all liability, including without limitation special, consequential or incidental damages. Buyer is responsible for its products and applications using **onsemi** products, including compliance with all laws, regulations and safety requirements or standards, regardless of any support or applications information provided by **onsemi**. "Typical" parameters which may be provided in **onsemi** data sheets and/or specifications can and do vary in different applications and actual performance may vary over time. All operating parameters, including "Typicals" must be validated for each customer application by customer's technical experts. **onsemi** does not convey any license under any of its intellectual property rights nor the rights of others. **onsemi** products are not designed, intended, or authorized for use as a critical component in life support systems or any FDA Class 3 medical devices or medical devices with a same or similar classification in a foreign jurisdiction or any devices intended for implantation in the human body. Should Buyer purchase or use **onsemi** products for any such unintended or unauthorized application, Buyer shall indemnify and hold **onsemi** and its officers, employees, subsidiaries, affiliates, and distributors harmless against all claims, costs, damages, and expenses, and reasonable attorney fees arising out of, directly or indirectly, any claim of personal injury or death associated with such unintended or unauthorized use, even if such claim alleges that **onsemi** was negligent regarding the design or manufacture of the part. **onsemi** is an Equal Opportunity/Affirmative Action Employer. This literature is subject to all applicable copyright laws and is not for resale in any manner.

ADDITIONAL INFORMATION

TECHNICAL PUBLICATIONS:

Technical Library: www.onsemi.com/design/resources/technical-documentation
onsemi Website: www.onsemi.com

ONLINE SUPPORT: www.onsemi.com/support

For additional information, please contact your local Sales Representative at
www.onsemi.com/support/sales